

Antarctica's melt water – a global player?

Hartmut H. Hellmer

Tore Hattermann, Keith Nicholls, Svein Osterhus, Gerd Rohardt,
Markus Janout, Mike Schröder



Ice shelves

Icebergs



Polar Ocean Seminar, GEOMAR, 16 February 2022

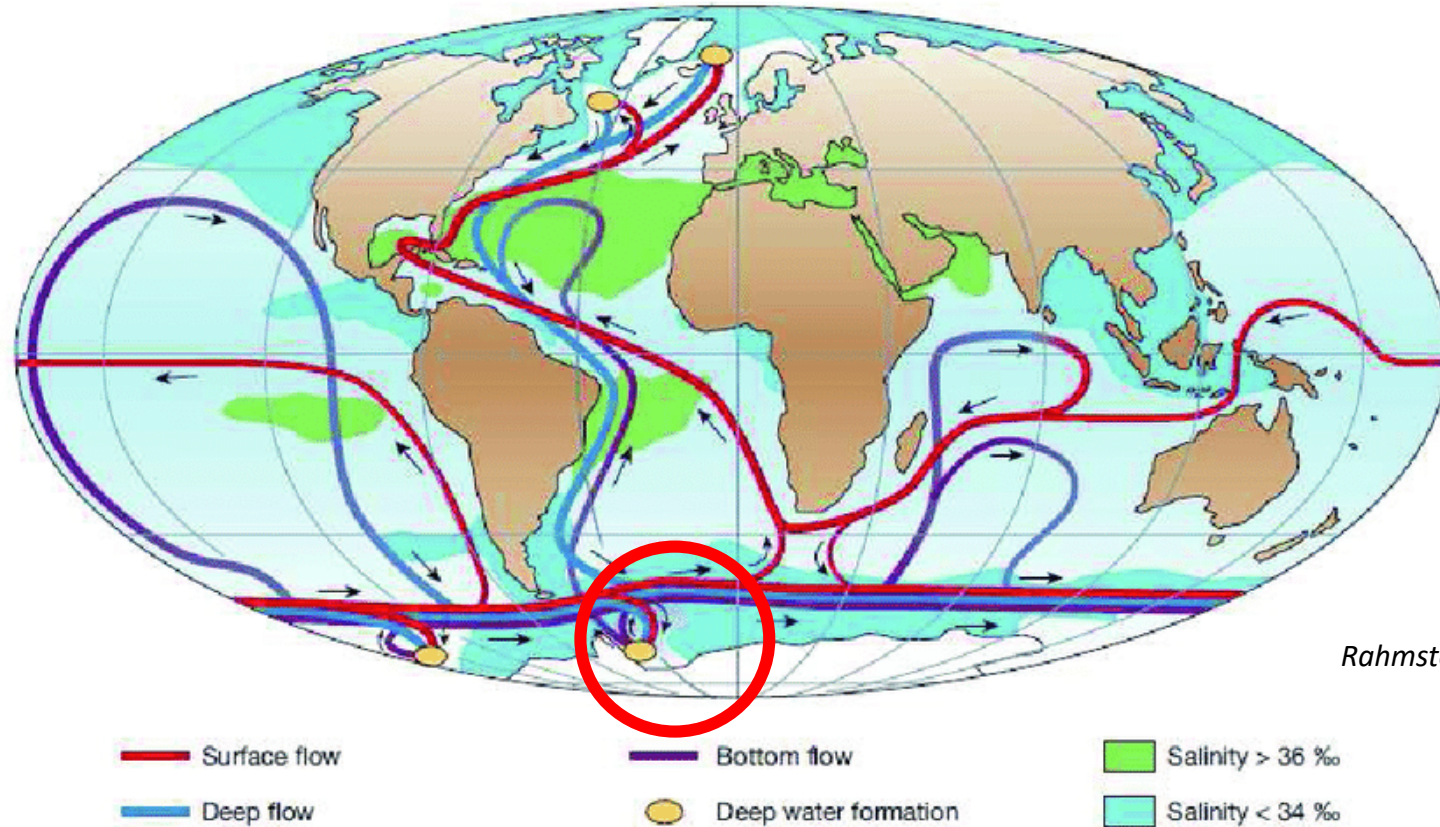


Sea ice



Yanni C. K.

Global Conveyor Belt



Rahmstorf, Nature (2002)

Introduction

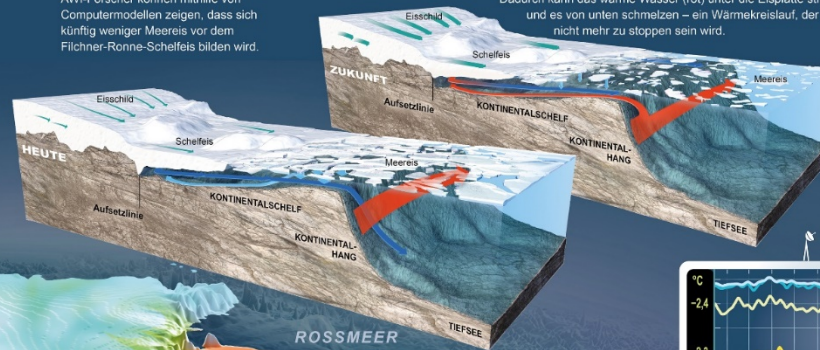


Wie die Wärme des Ozeans das Schelfeis angreift

Der Eispanzer der Antarktis liegt nicht überall auf festem Boden. An den Rändern des Kontinentes schieben sich die Eismassen Hunderte Kilometer weit auf das Meer hinaus. Diese schwimmenden Eiszungen werden Schelfeis genannt und bremsen bisher einen schnellen Abfluss des Inlandeises ins Meer. Je wärmer es aber in der Antarktis wird, desto häufiger versagt die Schelfeisbremse. Der Grund: Es bildet sich weniger Meereis. Infolgedessen sinkt der Salzgehalt und damit die Dichte des Wassers auf dem Schelf, wodurch warme Strömungen unter die Eiszungen gelangen und sie von unten schmelzen. Wie das vonstatten gehen kann, zeigt diese Grafik am Beispiel des Filchner-Ronne-Schelfeises.

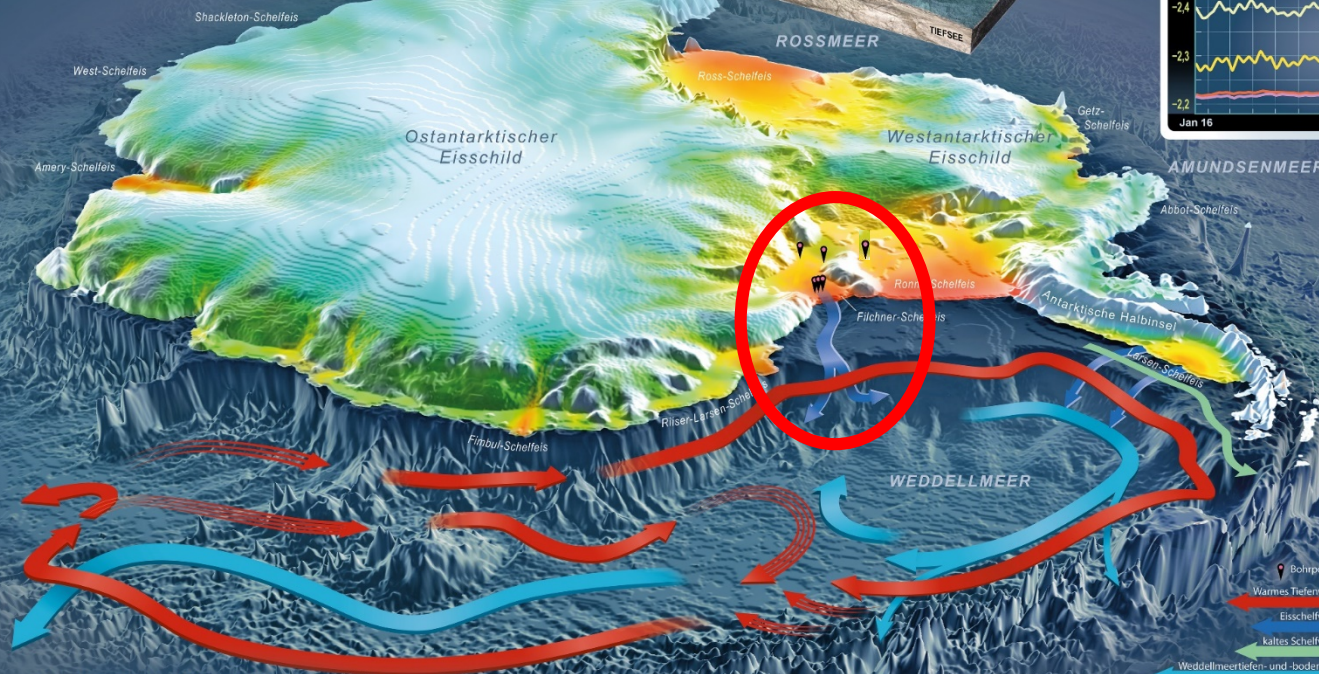
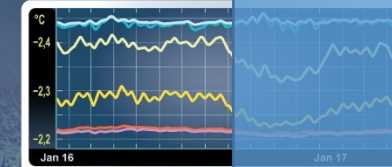
Der künftige Weg der Wärme
AWI-Forscher können mithilfe von Computermodellen zeigen, dass sich künftig weniger Meereis vor dem Filchner-Ronne-Schelfeis bilden wird.

Dadurch kann das warme Wasser (rot) unter die Eisplatte strömen und es von unten schmelzen – ein Wärmekreislauf, der dann nicht mehr zu stoppen sein wird.



Wann kommt das warme Wasser?

AWI-Forscher haben an fünf Stellen durch das Filchner-Schelfeis gebohrt und Messgeräte an langen Seilen direkt unter dem Eis verankert. Via Satellit schicken diese nun täglich aktuelle Daten zu Wassertemperatur, Salzgehalt und Strömung an das Institut.

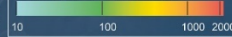


Die Strömungen im Weddellmeer heute

Unter dem Filchner-Ronne-Schelfeis zirkulieren bislang die kältesten Wassermassen der Welt. Ihre Temperatur beträgt bis zu -2,5 Grad Celsius (dunkelblauer Pfeil). Direkt am Kontinentalhang dagegen strömt 0,8 Grad Celsius warmes Wasser, welches der Weddellwirbel durch die große Meeresbucht transportiert (roter Pfeil).



Fließgeschwindigkeit in Meter pro Jahr

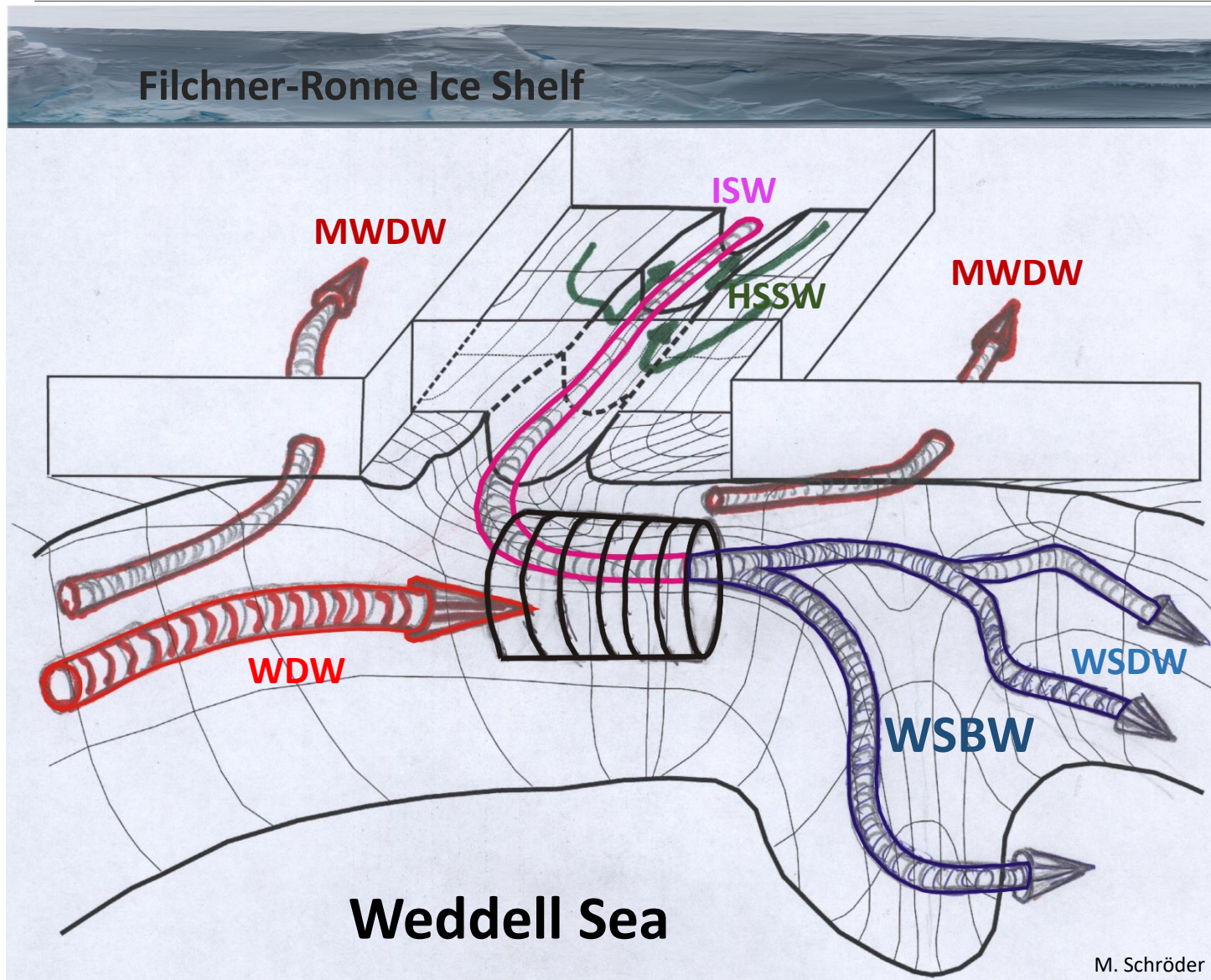


Meeresspiegel

Schelfeisstärke: 837 m
Meestiefe in Meter unter dem Meeresspiegel
Wassersäule: 450 m

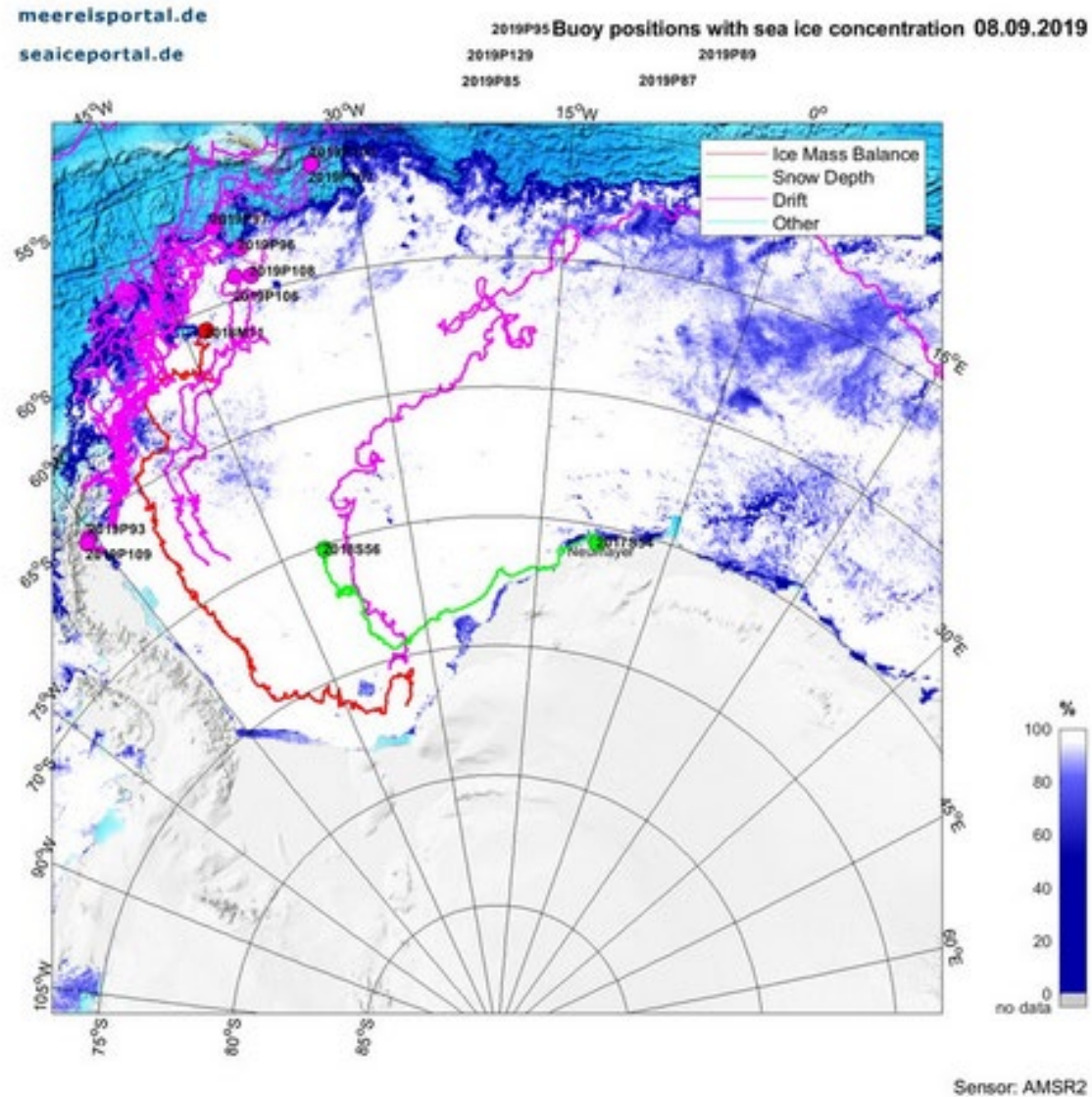
Stromungsmesser
Temperatur
Salzgehalt

Introduction



- WDW:** Warm Deep Water
- MWDW:** Modified Warm Deep Water
- HSSW:** High Salinity Shelf Water
- ISW:** Ice Shelf Water
- WSDW:** Weddell Sea Deep Water
- WSBW:** Weddell Sea Bottom Water

Sea ice



RESEARCH ARTICLE

10.1002/2016JC012513

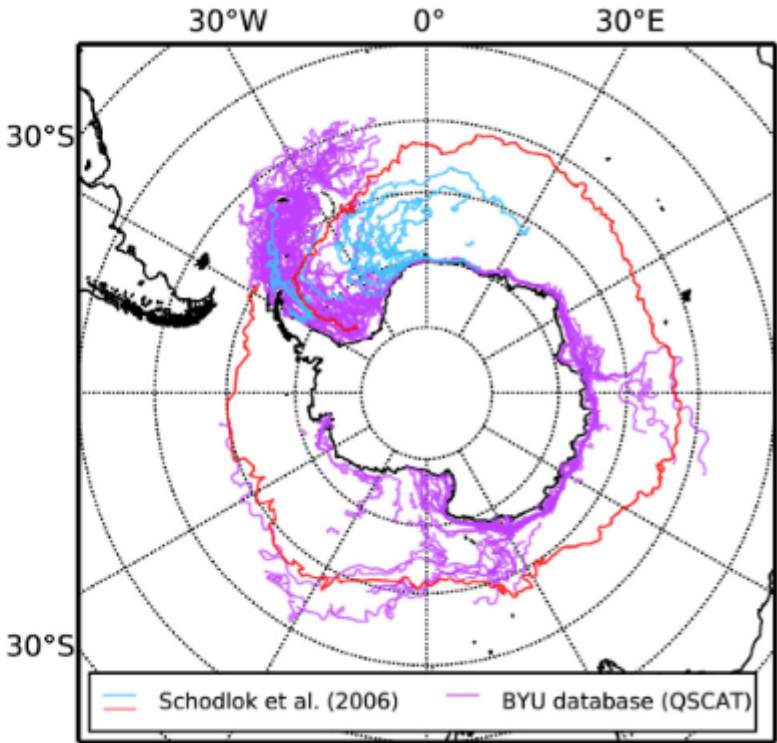
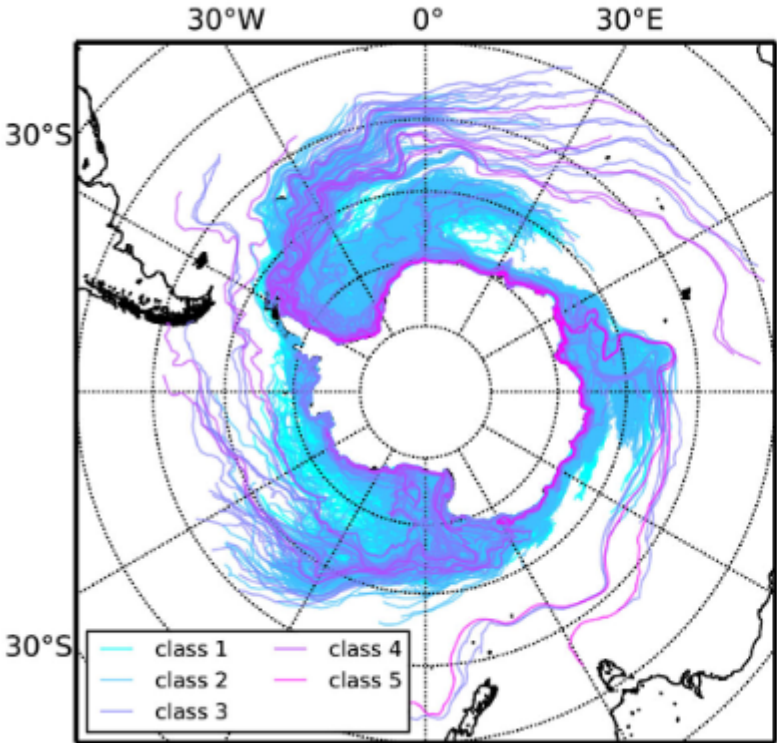
Key Points:

- Initialization with observed iceberg positions and a realistic size distribution
- Drift and melt of small (<2.2 km length) to giant icebergs (≥10 km) is simulated
- Including larger icebergs leads to a northward shift of the freshwater

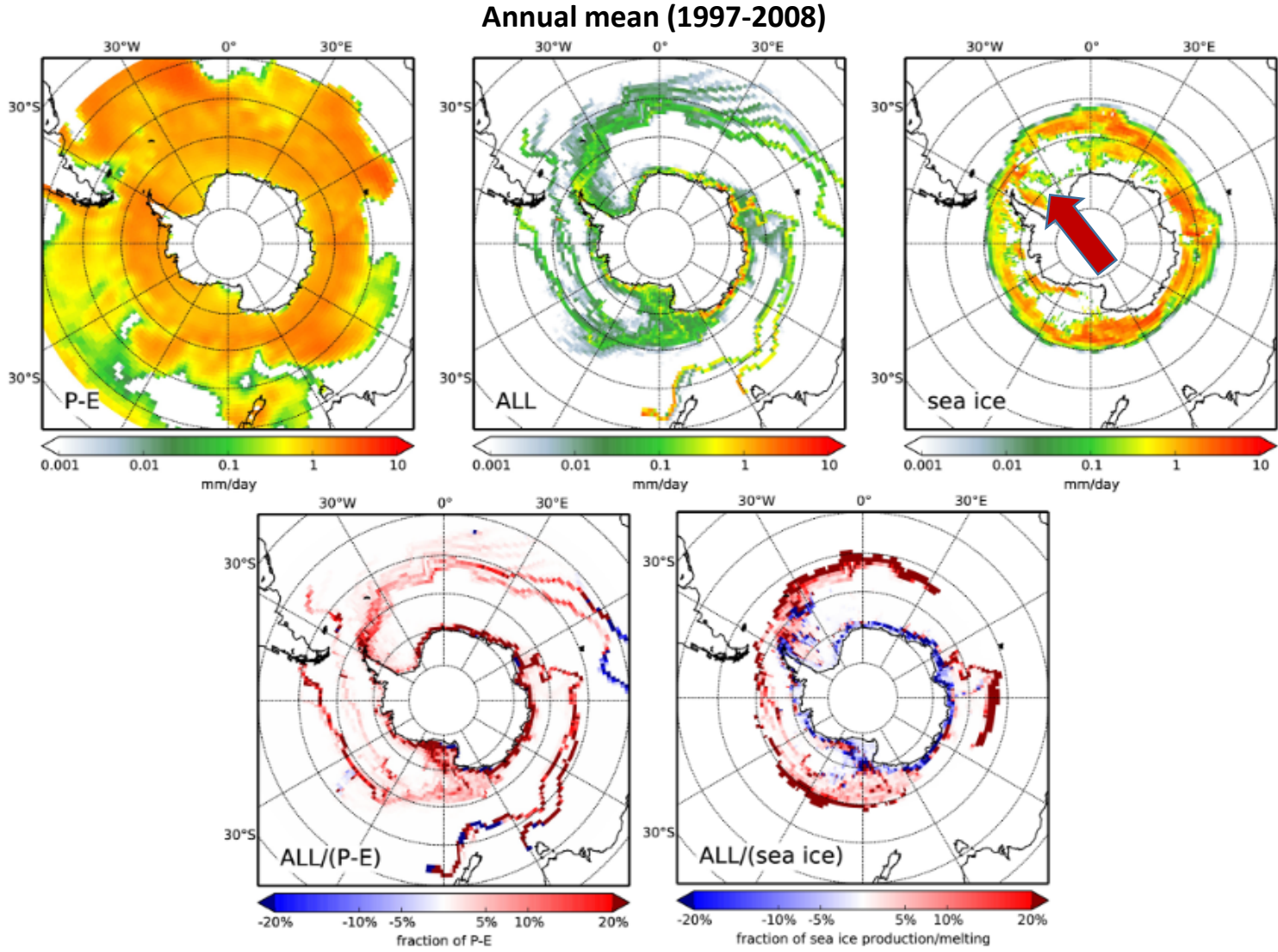
A simulation of small to giant Antarctic iceberg evolution: Differential impact on climatology estimates

Thomas Rackow¹, Christine Wesche¹, Ralph Timmermann¹, Hartmut H. Hellmer¹, Stephan Juricke², and Thomas Jung^{1,3}

¹Alfred Wegener Institute, Helmholtz Centre for Polar and Marine Research, Bremerhaven, Germany, ²Atmospheric, Oceanic and Planetary Physics, University of Oxford, Oxford, UK, ³Institute of Environmental Physics, University of Bremen, Bremen, Germany



Icebergs



Ice shelves



Melting of ice shelves and the mass balance of Antarctica

S. S. JACOBS, H. H. Hellmer
Lamont-Doherty Geological Observatory of Columbia University, Palisades, New York 10964, U.S.A.
C. S. M. DOAKE, A. JENKINS AND R. M. FROLICH
British Antarctic Survey, Natural Environment Research Council, Cambridge CB3 0ET, England

Grounded ice	Accumulation		Calving icebergs	Attrition Ice-shelf melting	Run-off	Balance	Reference
	Ice shelf	Total					
1490	356	1749	-855	-251		+ 487	Meier (1983)
		2000	-1700	-550		-400	Losev (1963)
		1885	-1053	-293			Barkov (1971)
		2080	-1450	-200	-10	+ 420	Bull (1971)
		2000	-2400	-320	-60	-720	Kotlyakov and others (1978)
1468	495	1963	-1800	-300		+ 200	Budd and Smith (1985)
			-2300			-	Orheim (1985)
							Christensen and Budd (1995)

Table 1 | Mass balance of Antarctic ice shelves by oceanic sector

Ocean sector	Ice shelves	GLF (Gt yr ⁻¹)	SMB (Gt yr ⁻¹)	CF (Gt yr ⁻¹)	dh/dt (Gt yr ⁻¹)	BMB (Gt yr ⁻¹)	Ice-shelf area (10 ³ km ²)	SBMB (myr ⁻¹)	MR (%)
West Indian Ocean	AR, NE, AIS, W*	235 ± 30	49 ± 8	155 ± 22	-11 ± 8	-140 ± 38	174	-0.80 ± 0.22	47
West Indian Ocean+		324 ± 31	—	204 ± 29	—	-179 ± 43	—	—	47
East Indian Ocean	SHA*, VAN, TOT*,	333 ± 16	48 ± 7	213 ± 44	-51 ± 20	-219 ± 48	65	-3.35 ± 0.73	51
East Indian Ocean+	MU, POR*,	508 ± 26	—	306 ± 75	—	-300 ± 80	—	—	50
	ADE*, MER, NIN,								
	COO, REN*								
Ross Sea	DRY, RIS, SUL,	149 ± 16	71 ± 17	153 ± 10	0 ± 0	-67 ± 26	492	-0.14 ± 0.05	30
Ross Sea+		175 ± 16	—	167 ± 15	—	-79 ± 28	—	—	32
Amundsen Sea	LAN*, GET*, CD*,	383 ± 19	55 ± 11	198 ± 43	-156 ± 13	-395 ± 48	56	-7.11 ± 0.87	67
Amundsen Sea+	THW*, PI*, COS	505 ± 24	—	232 ± 50	—	-484 ± 57	—	—	68
Bellingshausen Sea	ABB*, VEN*, GEO*,	139 ± 11	82 ± 16	31 ± 10	-65 ± 43	-255 ± 22	86	-2.98 ± 0.26	89
Bellingshausen Sea+	WOR	174 ± 12	—	41 ± 13	—	-281 ± 23	—	—	87
Weddell Sea	LBC, FRIS, BRL, JFL	334 ± 35	139 ± 23	355 ± 31	0 ± 0	-118 ± 52	608	-0.19 ± 0.09	25
Weddell Sea+		363 ± 35	—	371 ± 33	—	-131 ± 53	—	—	26
Fringing West Antarctica	SUL, LAN*, GET*,	542 ± 23	147 ± 19	232 ± 54	-221 ± 45	-678 ± 53	154	-4.40 ± 0.35	74
Fringing West Antarctica+	CD*, THW*, PI*,	700 ± 27	—	275 ± 63	—	-792 ± 62	—	—	74
	COS*, ABB*, VEN*,								
	GEO*, WOR								
Total surveyed	—	1,573 ± 56	444 ± 36	1,106 ± 141	-282 ± 50	-1,193 ± 163	1,481	-0.81 ± 0.11	52
Total upscaling	—	476 ± 67	—	216 ± 33	—	-261 ± 34	74	-3.53 ± 0.47	55
Total Antarctica	—	2,049 ± 87	—	1,321 ± 44	—	-1,454 ± 174	1,555	-0.94 ± 0.11	52

Table. Melting rates of Antarctic ice shelves

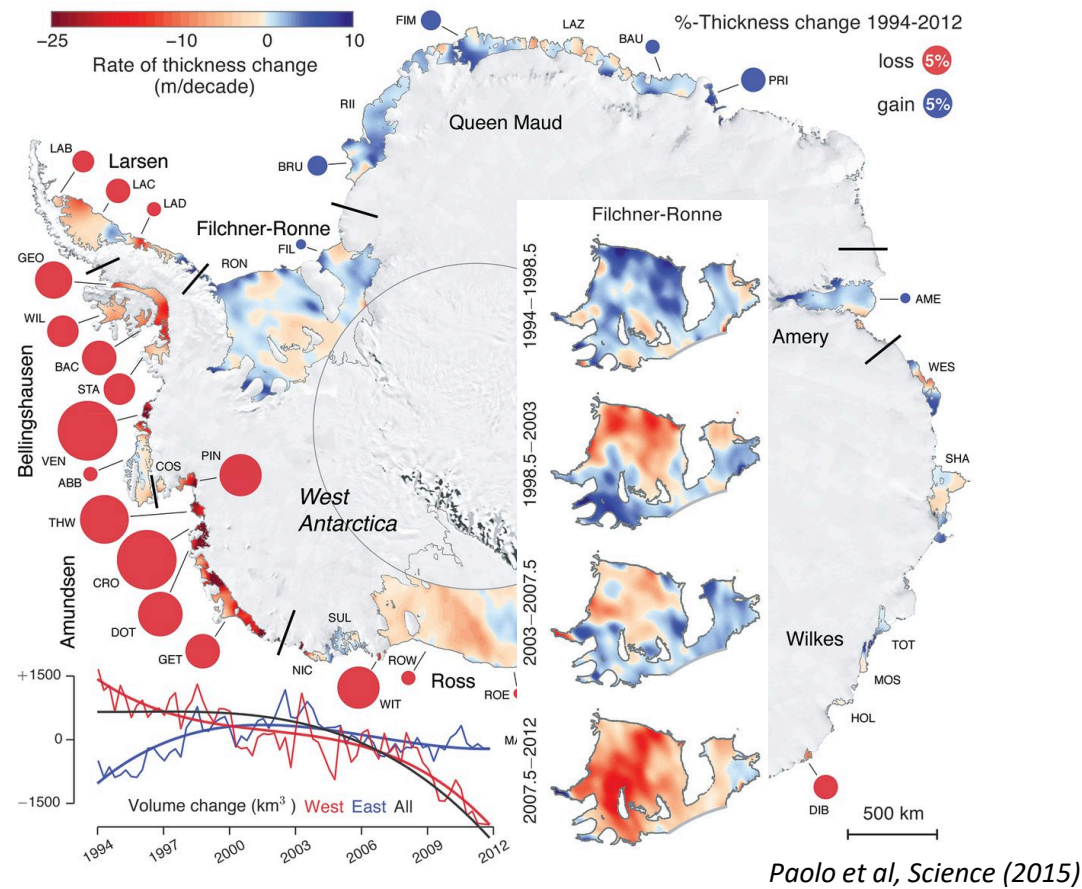
Jacobs et al. (1996)

Feature	Area 10 ³ km ²	Rate cm yr ⁻¹	Melt Gt yr ⁻¹
Ice shelf bases:			
Filechner-Ronne	400	55	202
	400	22	81
	20	65	23
		190	44
		1000	28
		200	224
		30	138
		500	16
		Total melting:	756

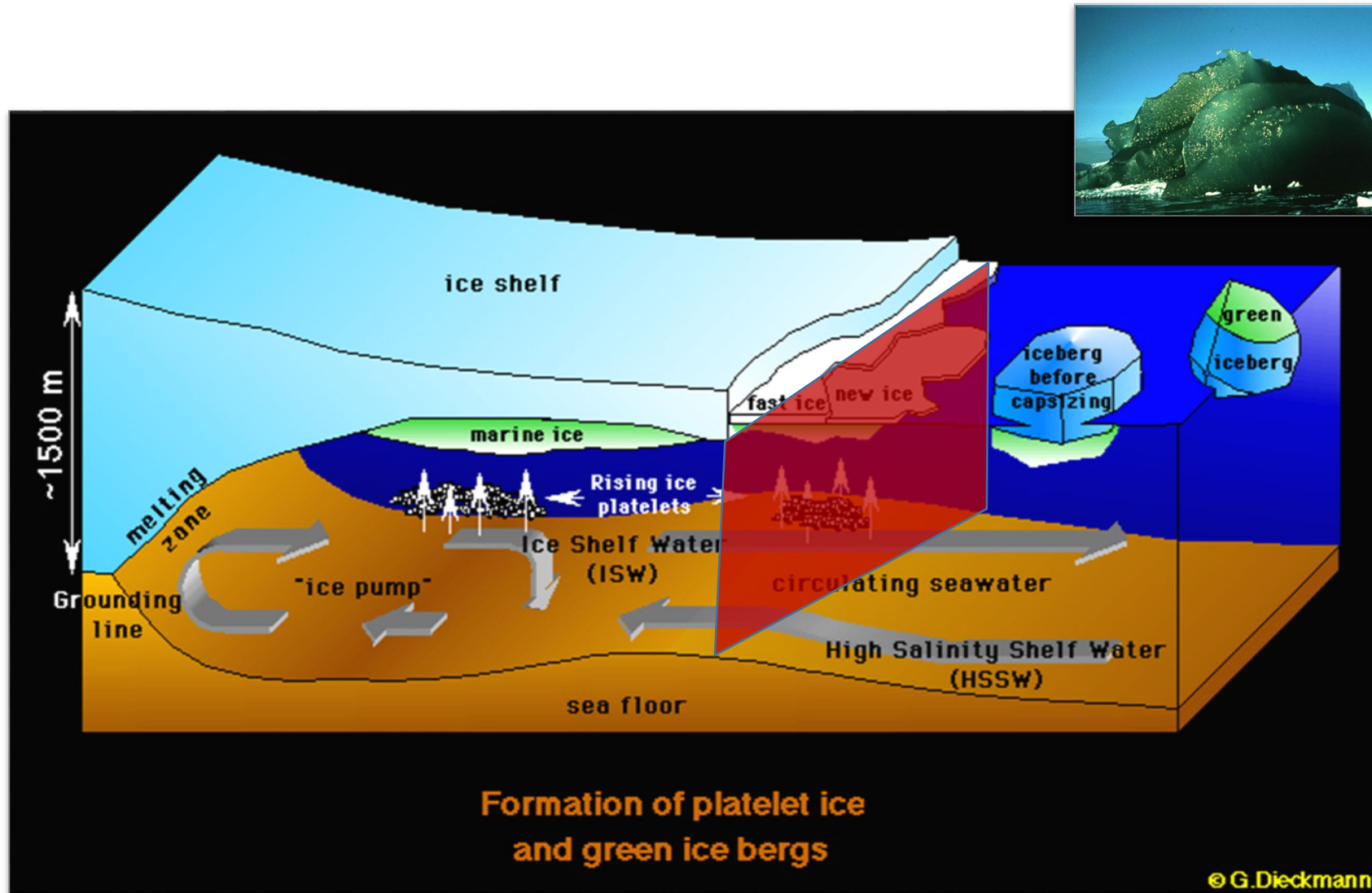
Depoorter et al. (2013)

Ice shelves

Ice Shelf Thickness Changes (1994-2012)



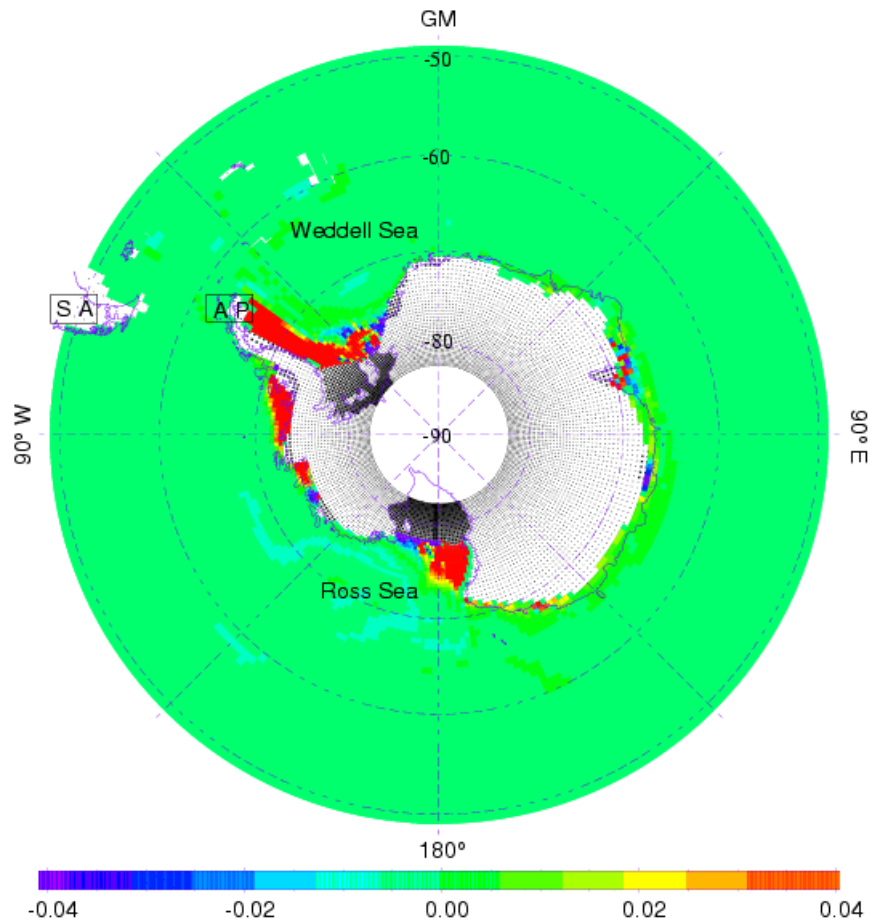
Ice shelves



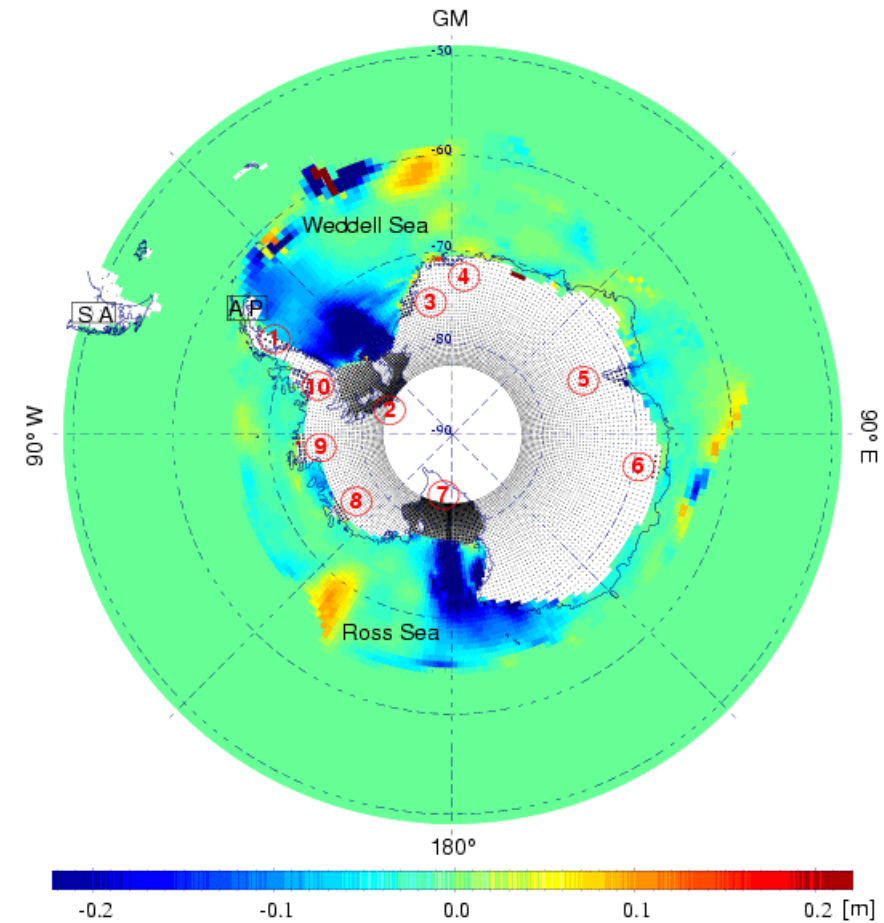
Observed 1985 in
the eastern Weddell Sea

Follow-up - Models

Bottom salinity (without – with)



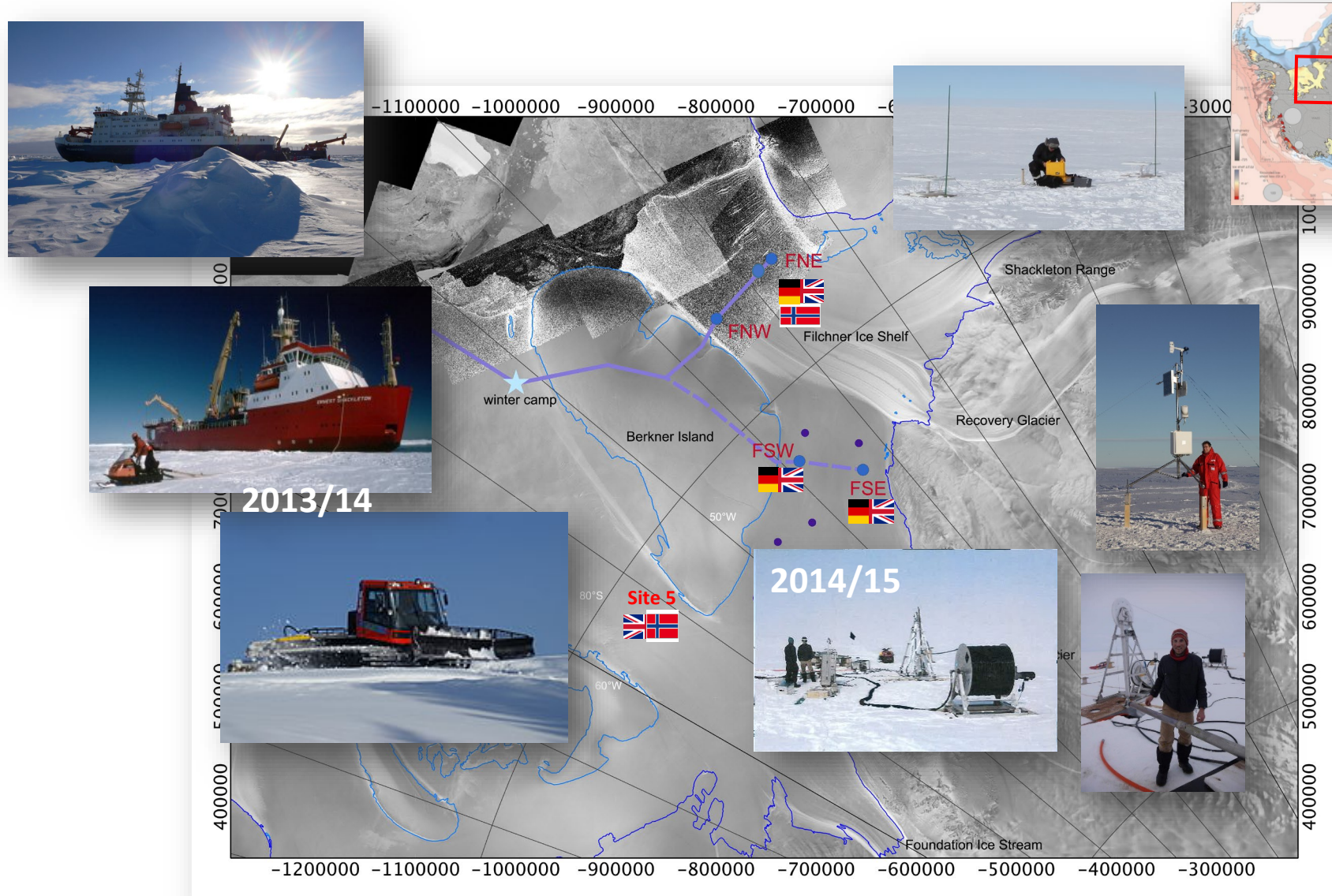
Sea ice thickness (without – with)



Hellmer, GRL (2004)

September of year 20

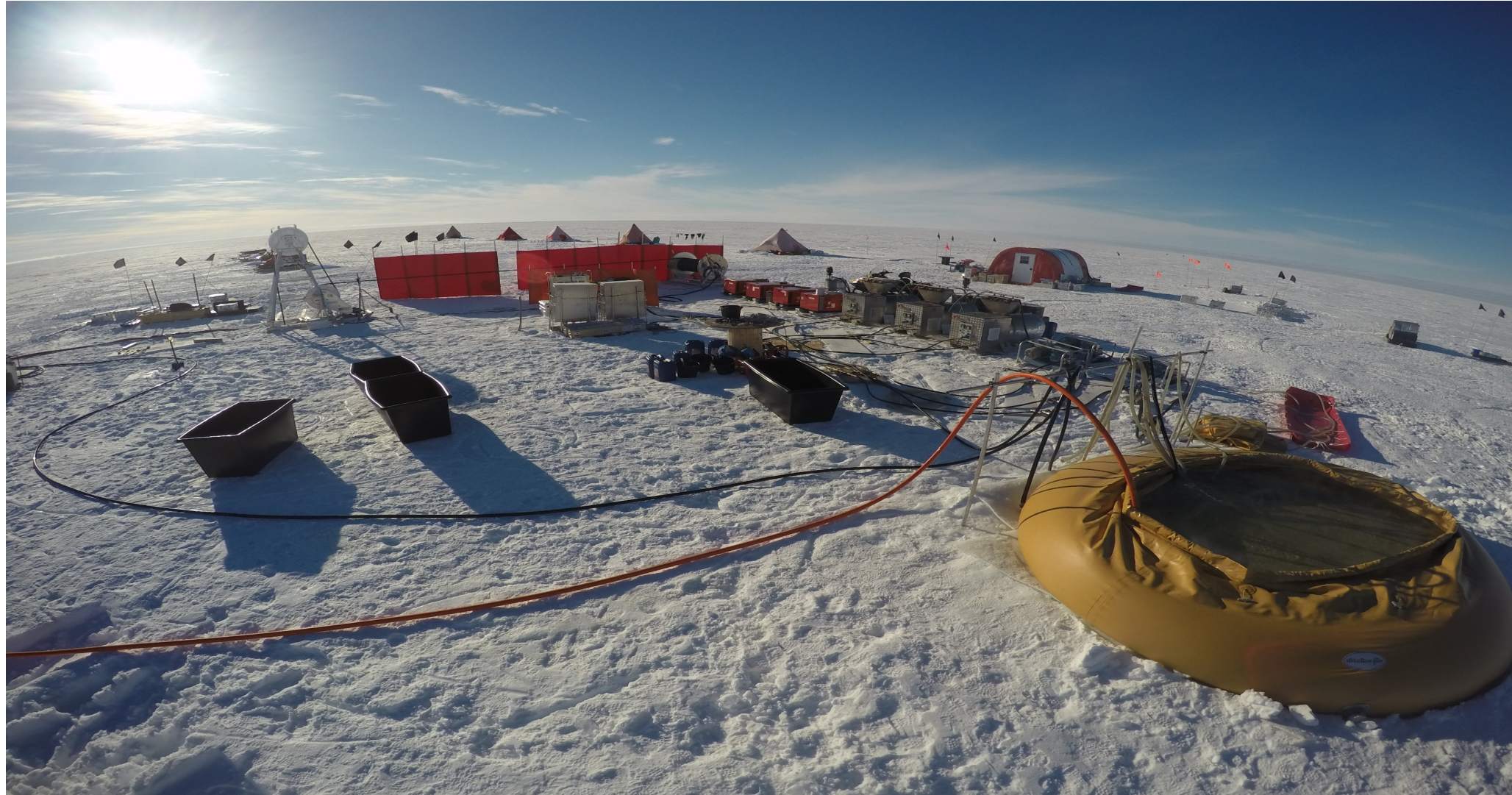
HELMHOLTZ



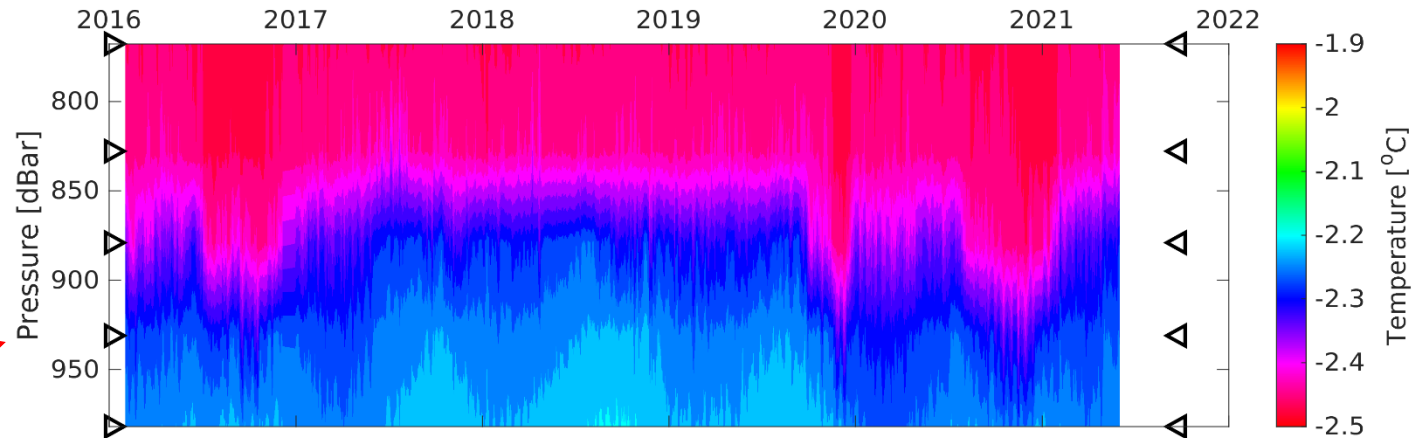
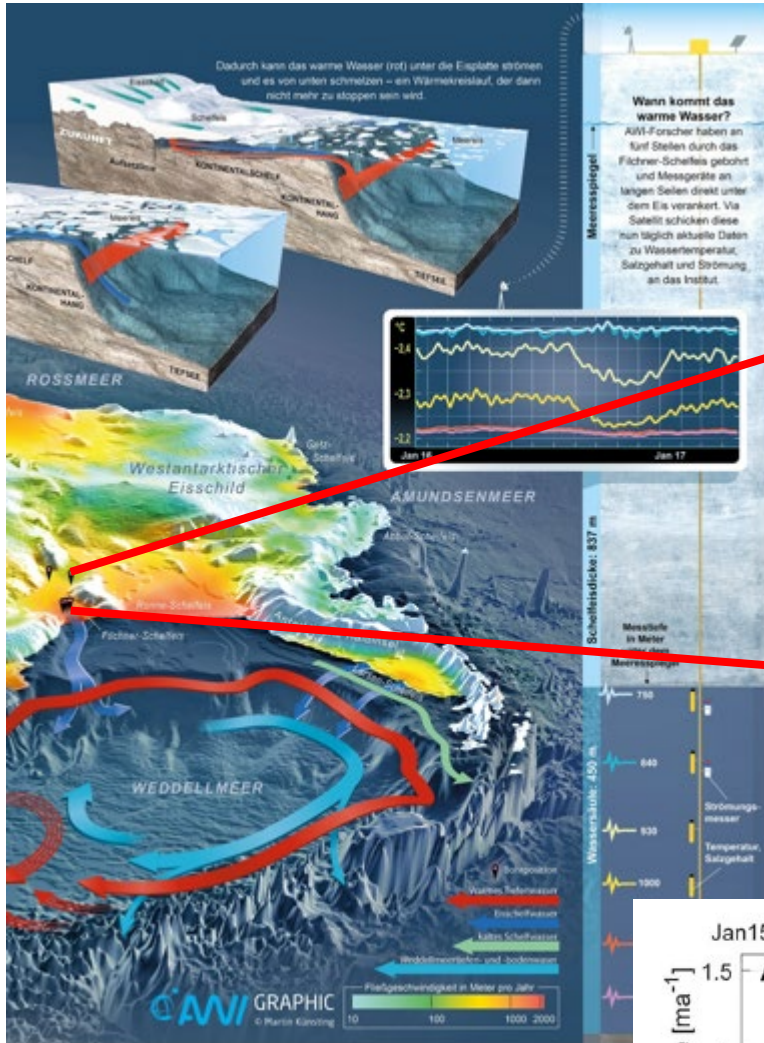
2013/14

2014/15

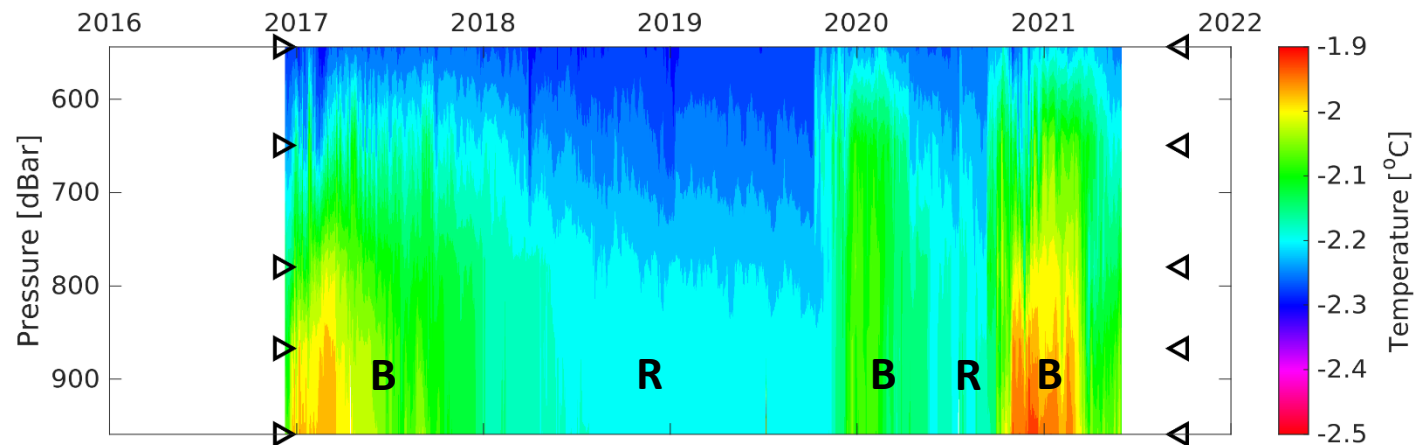
2015/16/17



Credit: T. Hattermann

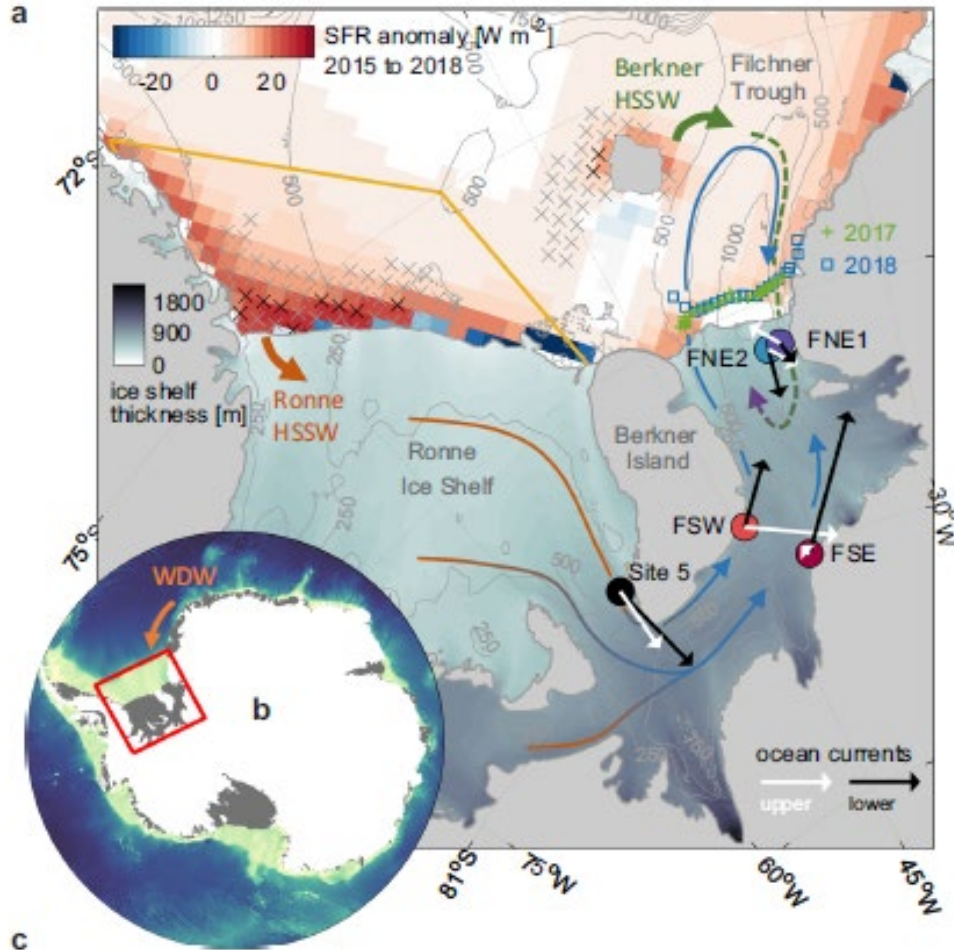


FSW1



FNE1





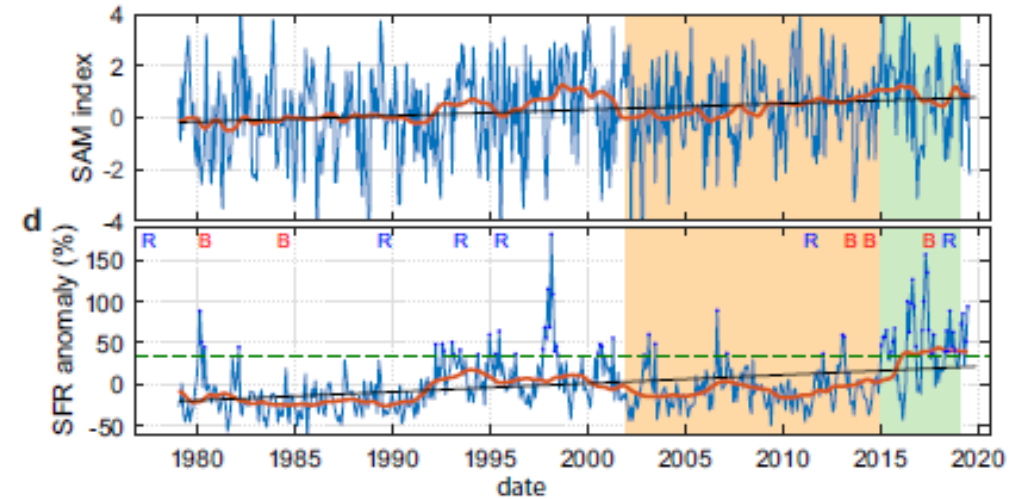
ARTICLE

<https://doi.org/10.1038/s41467-021-23137-x> OPEN

Check for updates

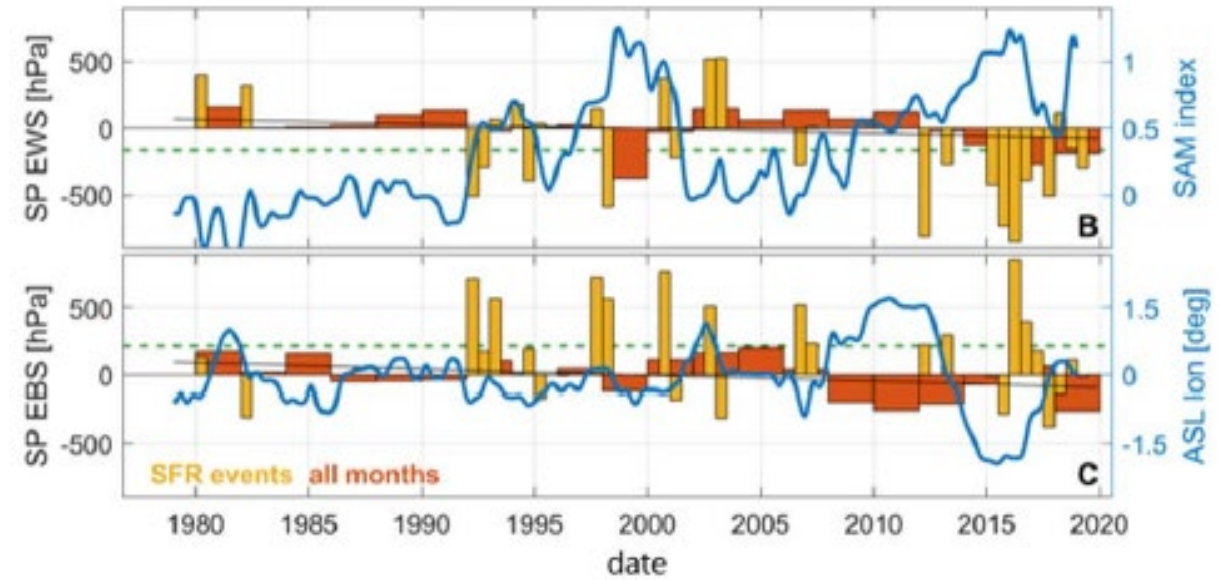
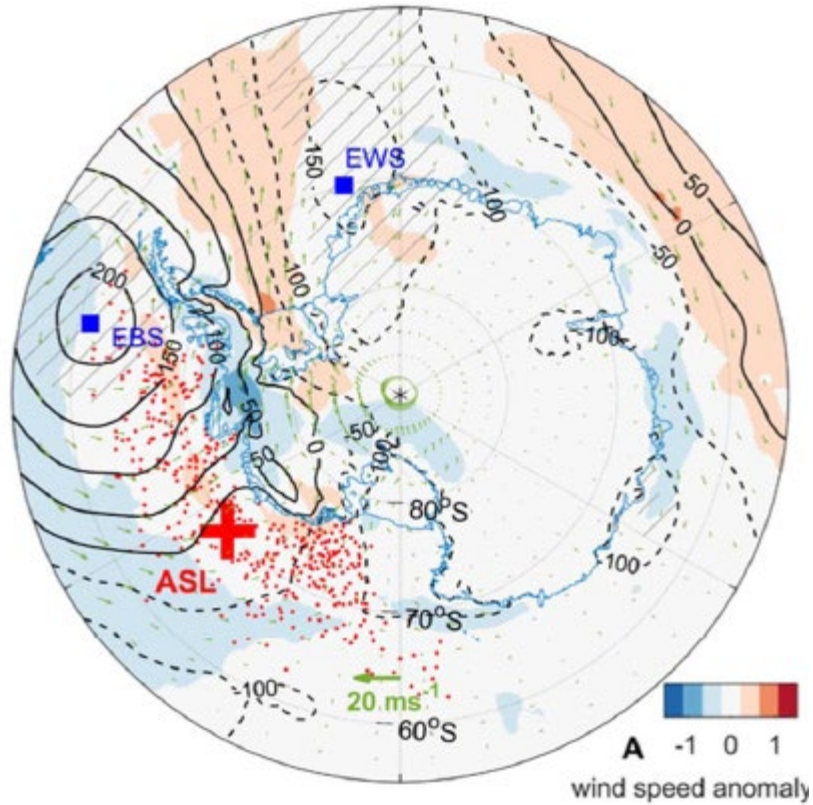
Observed interannual changes beneath Filchner-Ronne Ice Shelf linked to large-scale atmospheric circulation

Tore Hattermann^{1,2,3}, Keith W. Nicholls⁴, Hartmut H. Hellmer¹, Peter E. D. Davis⁴, Markus A. Janout¹, Svein Østerhus⁵, Elisabeth Schlosser^{6,7}, Gerd Rohardt¹ & Torsten Kanzow^{1,8}





ECMWF ERA Interim

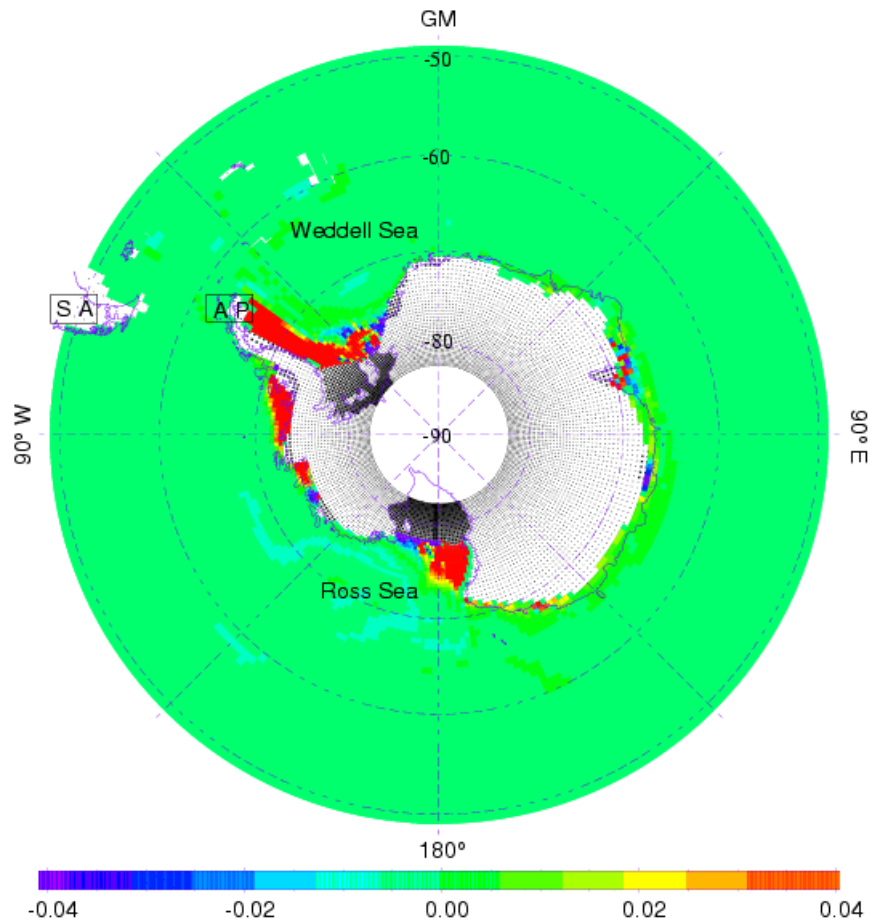


Hattermann et al, Nature Comm (2021)

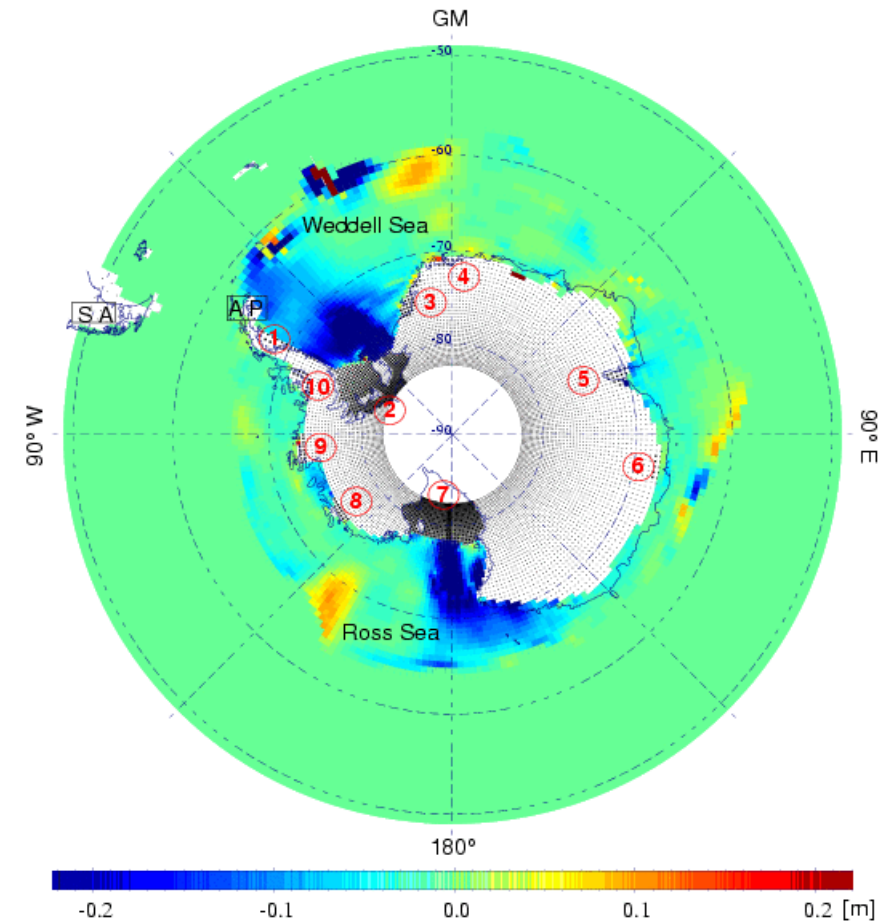
Wind anomalies -> Sea ice formation -> HSSW salinity -> Cavity circulation -> Ice shelf basal melting

Follow-up - Models

Bottom salinity (without – with)



Sea ice thickness (without – with)

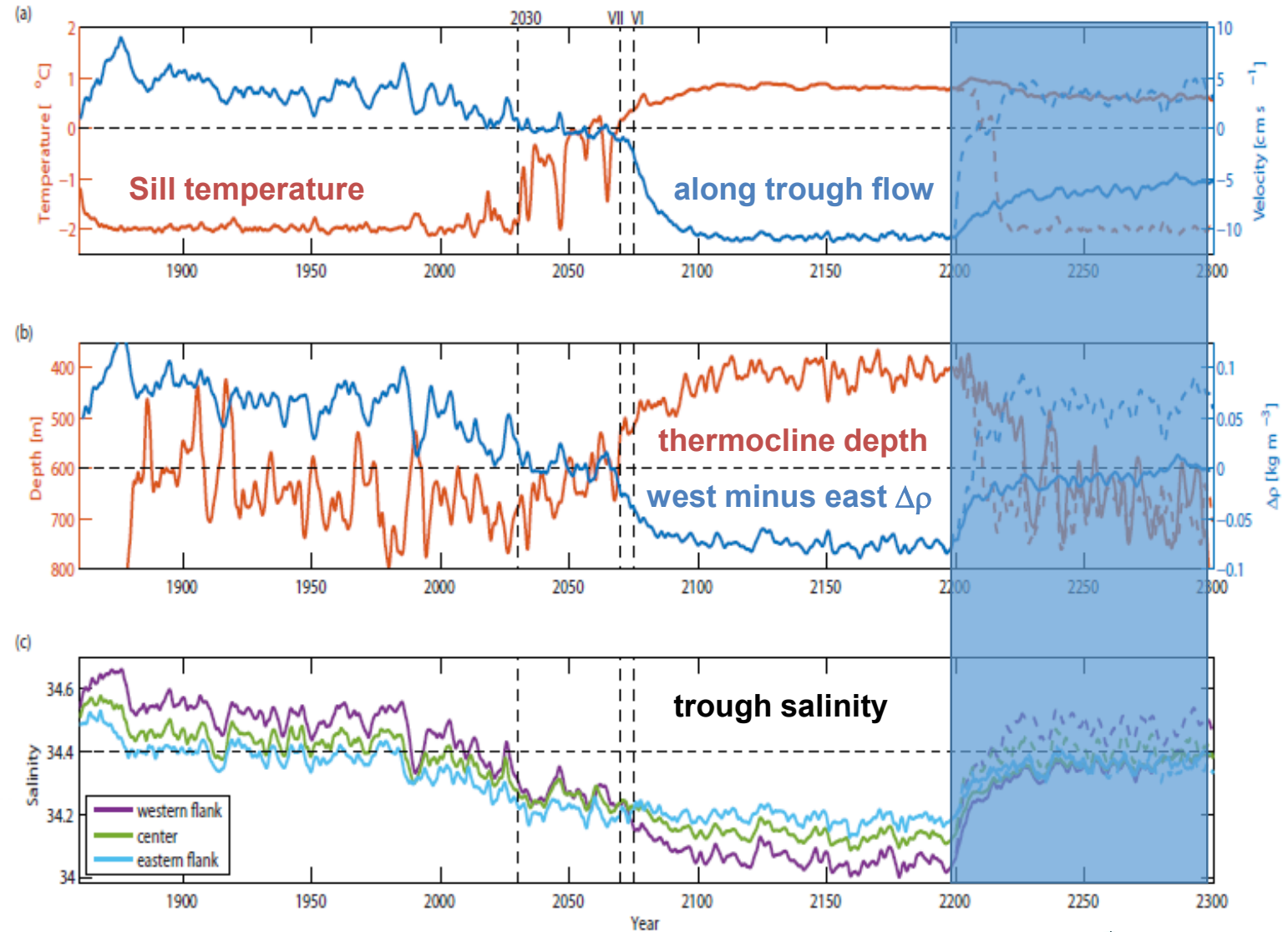
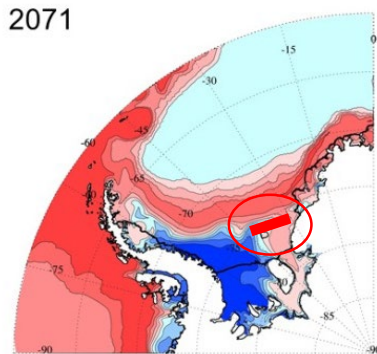
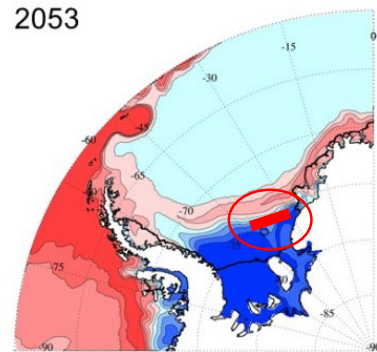


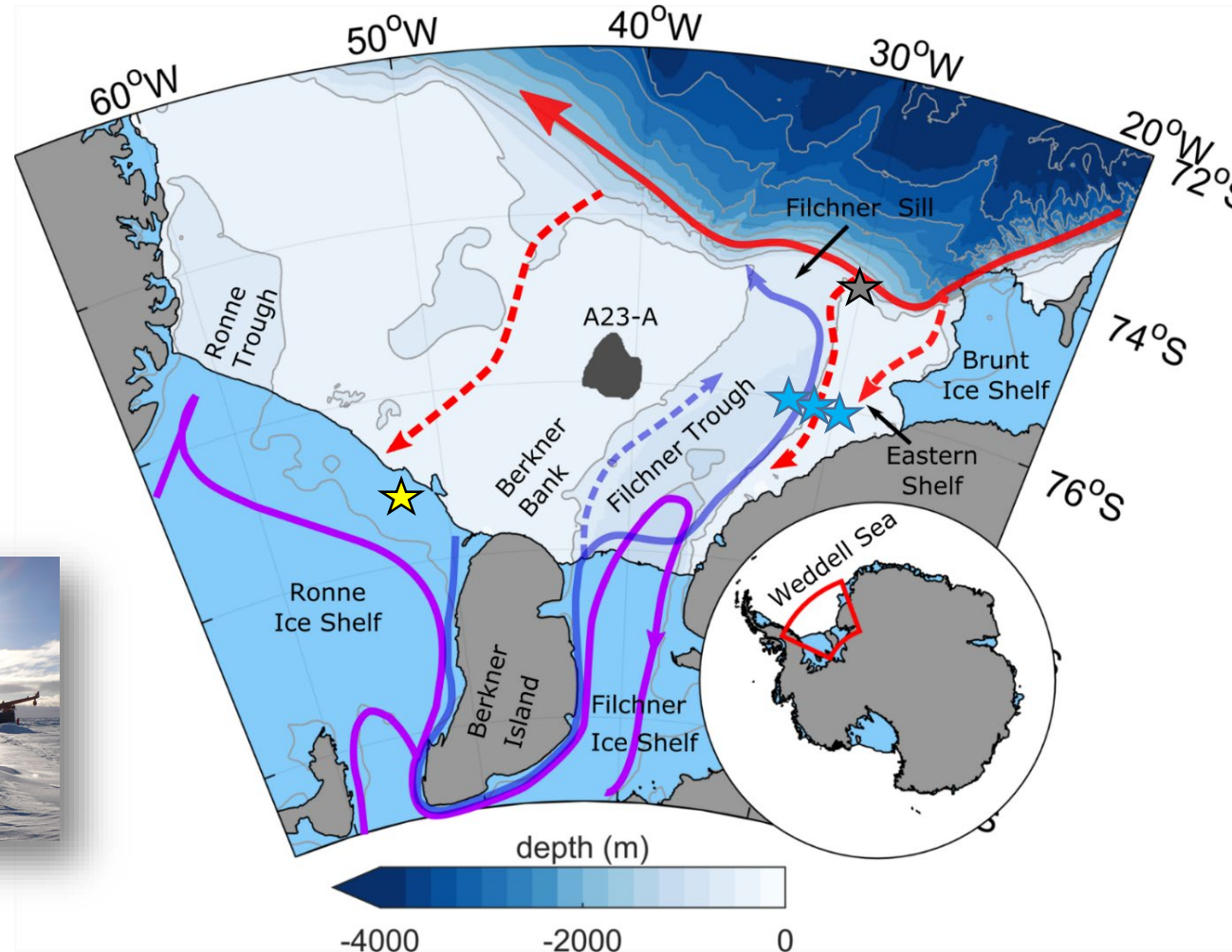
Hellmer, GRL (2004)



September of year 20

HELMHOLTZ

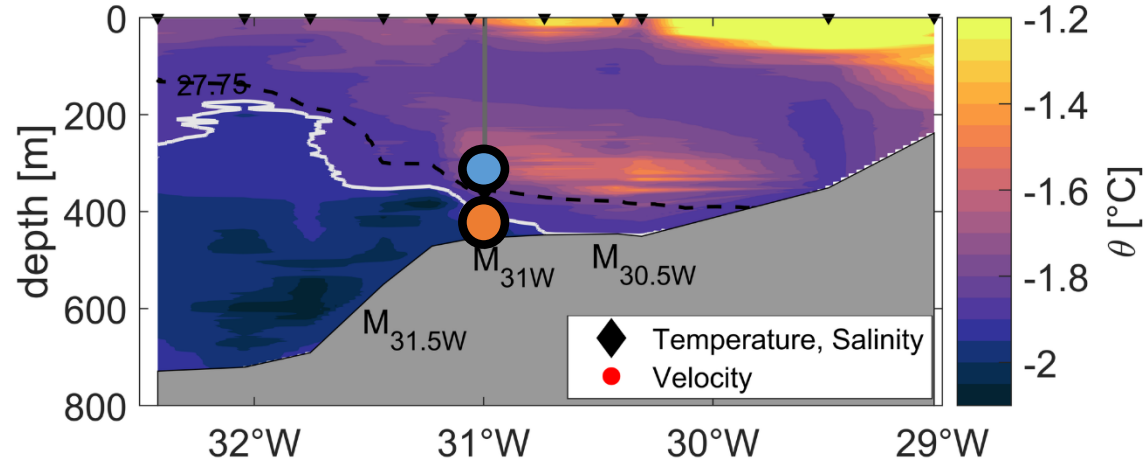
Follow-up - Models



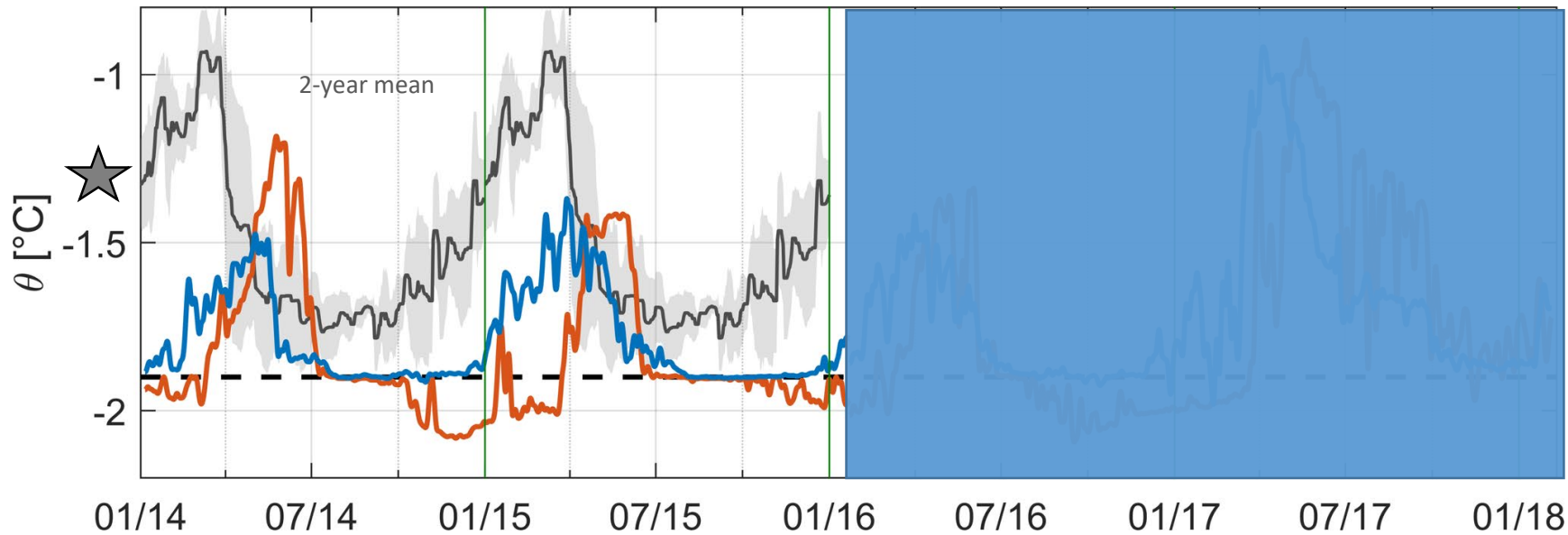


- ★ 2007-2021 
- ★ 2014-2021 
- ★ 2014 Ronne Depot



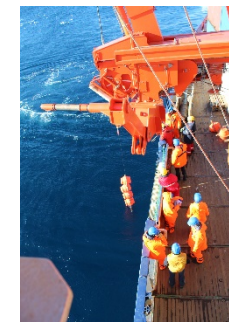


- Seasonal (fall-early winter) intrusion of MWDW
- Coherent (one month delay) with slope mooring
- Deep convection in winter
- Intensive and all-winter long MWDW inflow in 2017



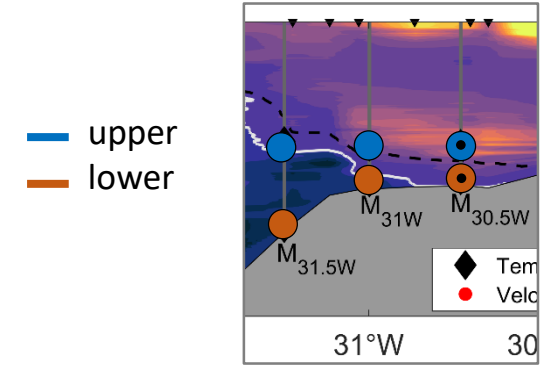
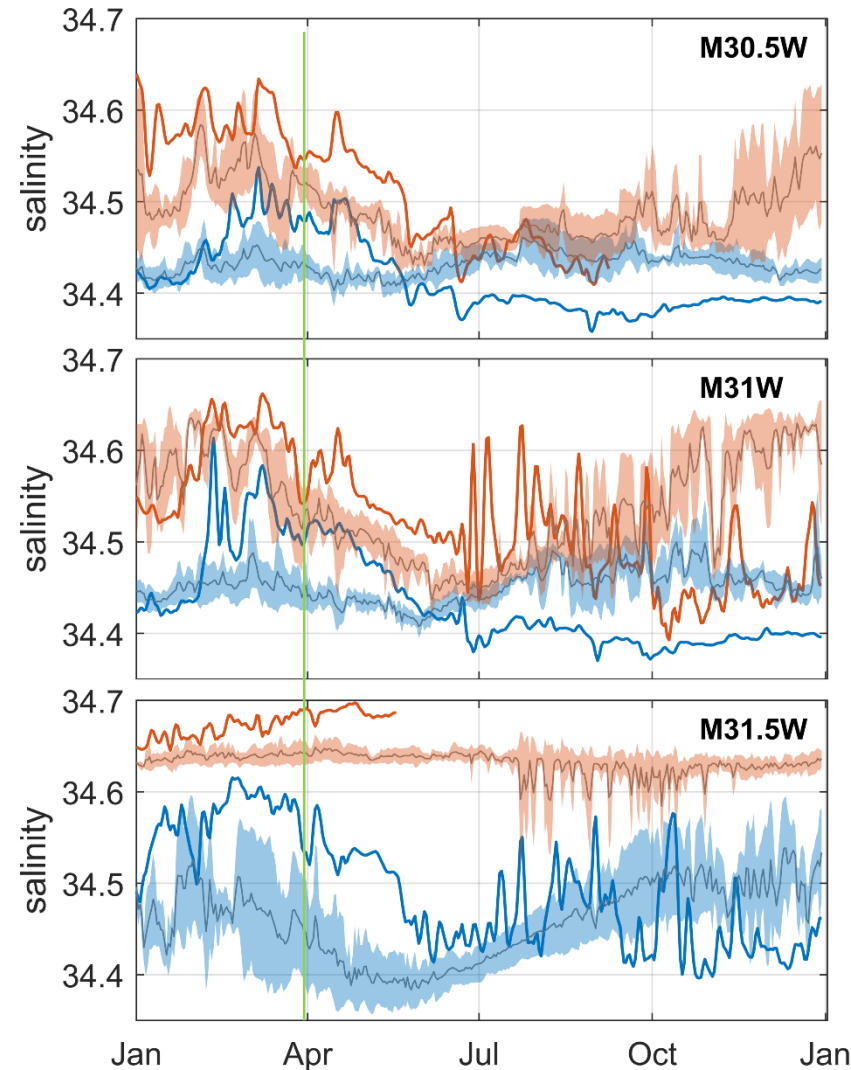
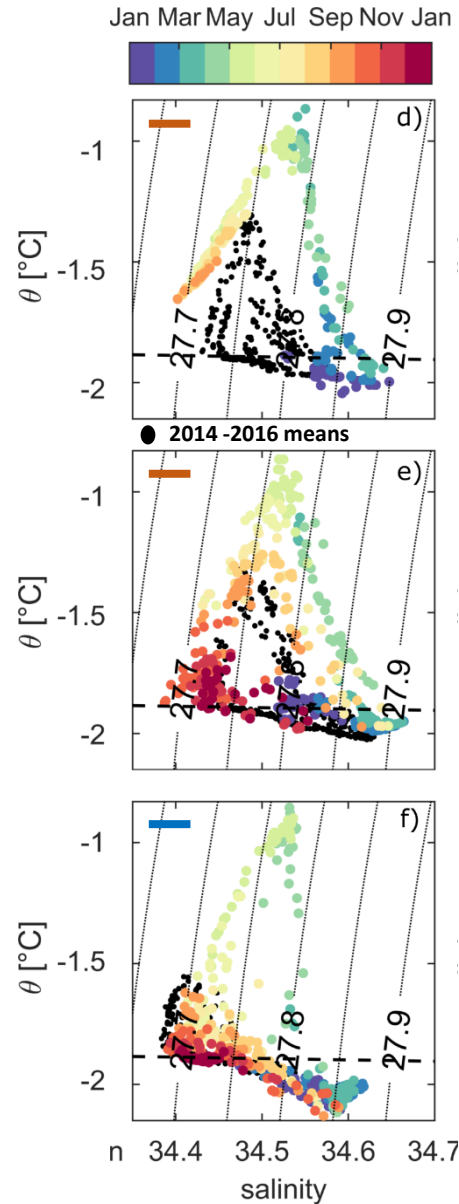
Ryan et al., GRL (2020)

3 years more → 2021



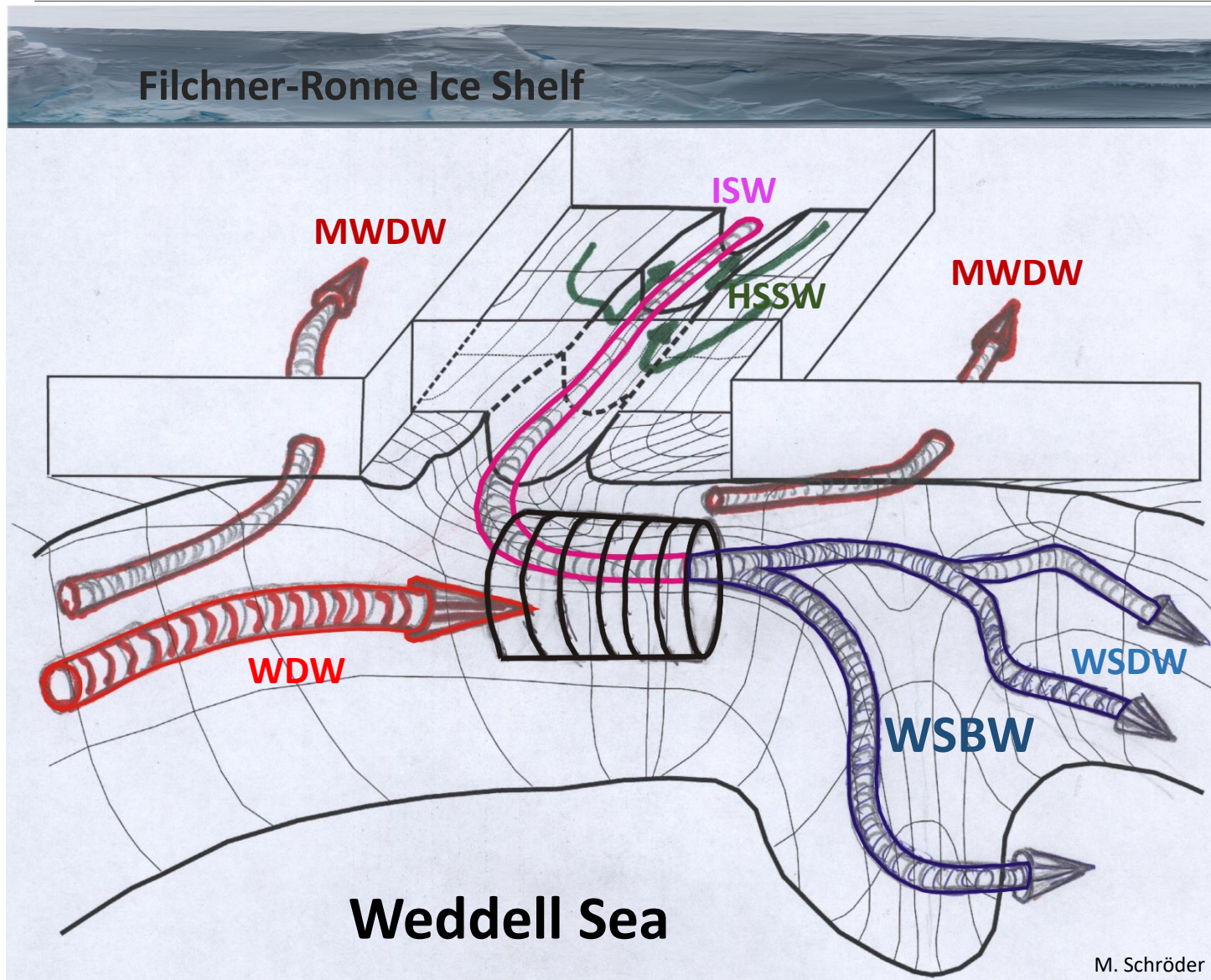
HELMHOLTZ

Warm Inflow at 76°S in 2017



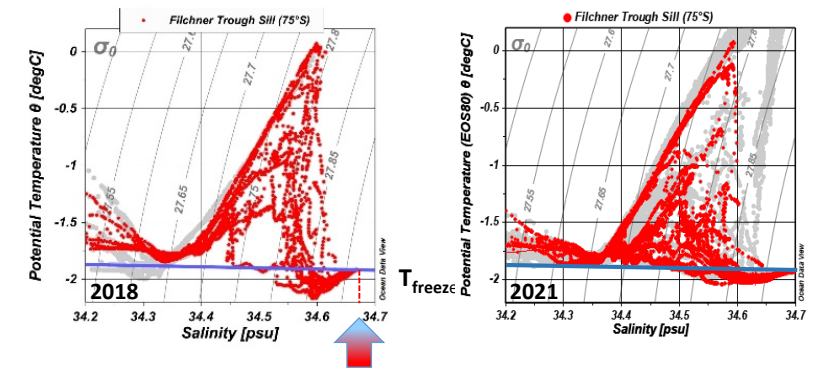
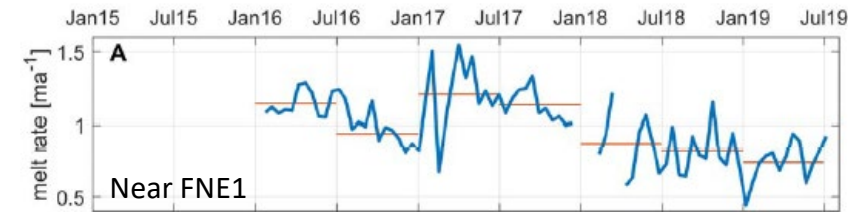
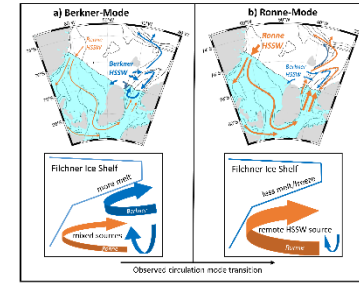
- Denser, warmer water enters shelf
→ from greater depth
- Fresh anomaly during winter especially at **upper** sensor (380 m)

Introduction



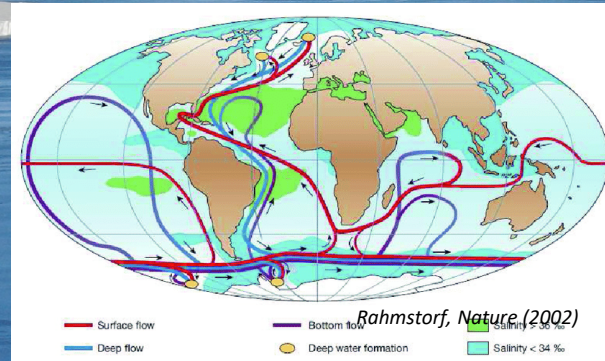
- WDW:** Warm Deep Water
- MWDW:** Modified Warm Deep Water
- HSSW:** High Salinity Shelf Water
- ISW:** Ice Shelf Water
- WSDW:** Weddell Sea Deep Water
- WSBW:** Weddell Sea Bottom Water

- FRIS cavity circulation has two modes controlled by the **strength of sea ice formation** in front of Ronne Ice Shelf.
- The two modes are mapped onto the strength of FIS basal melting.
 - ➔ Strong **interannual variability** in patterns of basal melting.
- The two modes are mapped onto the ISW outflow in Filchner Trough
 - ➔ Strong **interannual variability** in trough density structure.
 - ➔ Strong **interannual variability** in ISW flow across the sill.
 - ➔ Strong **interannual variability** in WSBW formation???



Answers will be provided by the results of the COSMUS moorings!

Antarctica's melt water – a global player?



Yes!



Thank you for your attention!



